

毕业设计

基于稀疏性优化的卡尔曼滤波状态转移模型参数估计

邓肯

数学学院

202130320311@mail.scut.edu.cn

2025 年 5 月 26 日



1 研究背景

2 相关文献

3 研究方法

4 实验结论

Overview



研究背景



问题背景

状态空间模型 (SSM) 广泛应用于工程 [Ham94, KN17]、环境科学 [Cho23]、信号处理 [DR24] 等各个领域的随机过程建模。SSM 利用隐藏变量来表示底层的马尔可夫过程，使其成为分析时间序列数据的强大工具。



问题背景

状态空间模型 (SSM) 广泛应用于工程 [Ham94, KN17]、环境科学 [Cho23]、信号处理 [DR24] 等各个领域的随机过程建模。SSM 利用隐藏变量来表示底层的马尔可夫过程，使其成为分析时间序列数据的强大工具。

当模型参数已知时，贝叶斯最优滤波器和平滑器为求解状态空间模型 [SS23] 提供了理论框架。这些工具能够进行准确的预测，为工业应用中的决策和战略制定提供参考。具体而言，贝叶斯滤波器能够以高可靠性预测状态空间模型中的长期行为。在线性高斯状态空间模型 (LGSSM) 中，该过程允许一个解析解，详见 [SS23]。对于非线性状态空间模型，粒子滤波器提供了一种实用的解决方案。



问题背景

状态空间模型 (SSM) 广泛应用于工程 [Ham94, KN17]、环境科学 [Cho23]、信号处理 [DR24] 等各个领域的随机过程建模。SSM 利用隐藏变量来表示底层的马尔可夫过程，使其成为分析时间序列数据的强大工具。

当模型参数已知时，贝叶斯最优滤波器和平滑器为求解状态空间模型 [SS23] 提供了理论框架。这些工具能够进行准确的预测，为工业应用中的决策和战略制定提供参考。具体而言，贝叶斯滤波器能够以高可靠性预测状态空间模型中的长期行为。在线性高斯状态空间模型 (LGSSM) 中，该过程允许一个解析解，详见 [SS23]。对于非线性状态空间模型，粒子滤波器提供了一种实用的解决方案。

本文重点介绍线性高斯状态空间模型 (LGSSM)。在 LGSSM 中，诸如转移矩阵之类的参数对于理解卡尔曼滤波器的行为至关重要。转移矩阵封装了不同的马尔可夫链，其准确估计至关重要。然而，在实际场景中，模型参数通常未知，但具有特定的属性 [WS98]，因此模型的参数估计是一项至关重要的任务。



相关文献



相关文献

卡尔曼滤波器及其扩展的理论基础已非常完善，[SS23] 提供了全面的推导和分析。

卡尔曼滤波器的参数估计已得到广泛研究，其中期望最大化 (EM) 算法是最广泛使用的方法之一。EM 算法（如 [SS23] 所述）通过迭代优化似然函数，为估计模型参数提供了一个稳健的框架。然而，传统的 EM 方法通常缺乏融入先验知识的能力，而这对于提高实际应用中的估计精度至关重要。



相关文献

卡尔曼滤波器及其扩展的理论基础已非常完善, [SS23] 提供了全面的推导和分析。

卡尔曼滤波器的参数估计已得到广泛研究, 其中期望最大化 (EM) 算法是最广泛使用的方法之一。EM 算法 (如 [SS23] 所述) 通过迭代优化似然函数, 为估计模型参数提供了一个稳健的框架。然而, 传统的 EM 方法通常缺乏融入先验知识的能力, 而这对于提高实际应用中的估计精度至关重要。

与此同时, 其他研究人员也在探索状态空间模型中参数估计的替代方法。例如, [TE22] 提出了一种用于变点检测的自适应调优方法, 而 [SCEM23] 将 GraphEM 与循环神经网络 (RNN) 相结合, 用于股票市场预测。此外, [CD24] 使用哈密顿蒙特卡罗方法研究了非线性系统的推理方法, [MMRG25] 则在图模型的背景下探索了格兰杰因果关系。



研究方法



线性高斯状态空间模型

卡尔曼滤波器是贝叶斯滤波器的一个特例，其中动态模型和测量模型均为线性高斯模型。该模型由以下方程定义：

$$\mathbf{x}_k = \mathbf{A}_{k-1} \mathbf{x}_{k-1} + \mathbf{q}_{k-1}, \quad (1)$$

$$\mathbf{y}_k = \mathbf{H}_k \mathbf{x}_k + \mathbf{r}_k, \quad (2)$$



线性高斯状态空间模型

卡尔曼滤波器是贝叶斯滤波器的一个特例，其中动态模型和测量模型均为线性高斯模型。该模型由以下方程定义：

$$\mathbf{x}_k = \mathbf{A}_{k-1} \mathbf{x}_{k-1} + \mathbf{q}_{k-1}, \quad (1)$$

$$\mathbf{y}_k = \mathbf{H}_k \mathbf{x}_k + \mathbf{r}_k, \quad (2)$$

其中：

- $\mathbf{q}_{k-1} \sim \mathcal{N}(\mathbf{0}, \mathbf{Q}_{k-1})$ 是过程噪声，假设为具有零均值和协方差的高斯分布 \mathbf{Q}_{k-1} ，
- $\mathbf{r}_k \sim \mathcal{N}(\mathbf{0}, \mathbf{R}_k)$ 为测量噪声，假设为均值为零、协方差为 \mathbf{R}_k 的高斯分布。
- $\mathbf{x}_0 \sim \mathcal{N}(\mathbf{m}_0, \mathbf{P}_0)$ 为初始状态，假设为均值为 \mathbf{m}_0 、协方差为 \mathbf{P}_0 的高斯分布。
- \mathbf{A}_{k-1} 为状态转移矩阵。
- \mathbf{H}_k 是观测矩阵。



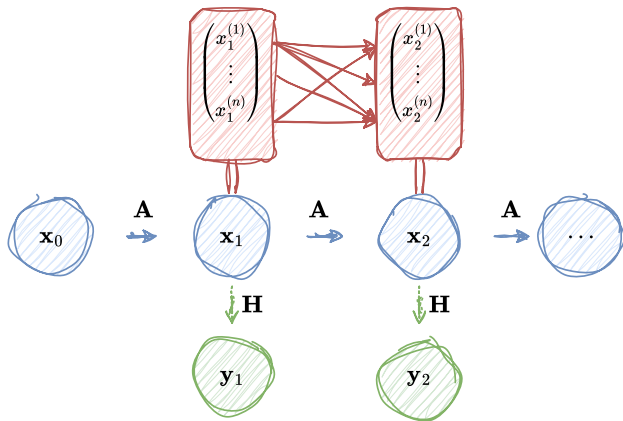


图 线性高斯状态空间模型的流程。蓝色块表示转换过程，红色块说明马尔可夫链属性的细节，绿色块表示观察过程。



具有缺失参数的线性高斯状态空间模型

具有缺失参数 θ 的线性高斯状态空间模型 (LGSSM) 定义为:

$$\mathbf{x}_k = \mathbf{A}(\theta) \mathbf{x}_{k-1} + \mathbf{q}_{k-1}, \quad (3)$$

$$\mathbf{y}_k = \mathbf{H}(\theta) \mathbf{x}_k + \mathbf{r}_k, \quad (4)$$



具有缺失参数的线性高斯状态空间模型

具有缺失参数 θ 的线性高斯状态空间模型 (LGSSM) 定义为:

$$\mathbf{x}_k = \mathbf{A}(\theta) \mathbf{x}_{k-1} + \mathbf{q}_{k-1}, \quad (3)$$

$$\mathbf{y}_k = \mathbf{H}(\theta) \mathbf{x}_k + \mathbf{r}_k, \quad (4)$$

其中:

- $\mathbf{q}_{k-1} \sim \mathcal{N}(\mathbf{0}, \mathbf{Q}(\theta))$ 和 $\mathbf{r}_k \sim \mathcal{N}(\mathbf{0}, \mathbf{R}(\theta))$ 分别是过程噪声和测量噪声,
- $\mathbf{x}_0 \sim \mathcal{N}(\mathbf{m}_0(\theta), \mathbf{P}_0(\theta))$ 是初始状态分布,
- 假设模型参数 θ 是时间不变的。



简略 EM 算法

令 $q(\mathbf{x}_{0:T})$ 为状态 $\mathbf{x}_{0:T}$ 上的任意概率密度函数。对于对数似然 $\log p(\mathbf{y}_{1:T} | \boldsymbol{\theta})$, 总是存在一个下界, 如下所示:

$$\log p(\mathbf{y}_{1:T} | \boldsymbol{\theta}) \geq F(q(\mathbf{x}_{0:T}), \boldsymbol{\theta}), \quad (5)$$

其中二元函数 $F(\cdot)$ 定义为:

$$F(q(\mathbf{x}_{0:T}), \boldsymbol{\theta}) = \int q(\mathbf{x}_{0:T}, \boldsymbol{\theta}) \log \frac{p(\mathbf{x}_{0:T}, \mathbf{y}_{1:T} | \boldsymbol{\theta})}{q(\mathbf{x}_{0:T}, \boldsymbol{\theta})} d\mathbf{x}_{0:T}. \quad (6)$$



求解 EM 算法

为了求解算法中的 E 步骤，我们直接给出最优解：

$$q^{(n+1)}(\mathbf{x}_{0:T}) = p(\mathbf{x}_{0:T} \mid \mathbf{y}_{1:T}, \boldsymbol{\theta}^{(n)}), \quad (7)$$

$$\begin{aligned} F[q^{(n+1)}(\mathbf{x}_{0:T}), \boldsymbol{\theta}] &= \int p(\mathbf{x}_{0:T} \mid \mathbf{y}_{1:T}, \boldsymbol{\theta}^{(n)}) \log p(\mathbf{x}_{0:T}, \mathbf{y}_{1:T} \mid \boldsymbol{\theta}) d\mathbf{x}_{0:T} \\ &\quad - \int p(\mathbf{x}_{0:T} \mid \mathbf{y}_{1:T}, \boldsymbol{\theta}^{(n)}) \log p(\mathbf{x}_{0:T} \mid \mathbf{y}_{1:T}, \boldsymbol{\theta}^{(n)}) d\mathbf{x}_{0:T}. \end{aligned} \quad (8)$$



EM 算法结论

注意，方程 (8) 中的第二项不依赖于 θ 。因此，算法中的 M 步骤优化可以简化，只考虑方程 (8) 中的第一项作为对数似然的新下界，记作 $Q(\theta, \theta^{(n)})$ ：

$$Q(\theta, \theta^{(n)}) = \int p(\mathbf{x}_{0:T} \mid \mathbf{y}_{1:T}, \theta^{(n)}) \log p(\mathbf{x}_{0:T}, \mathbf{y}_{1:T} \mid \theta) d\mathbf{x}_{0:T}. \quad (9)$$



EM 算法结论

注意，方程 (8) 中的第二项不依赖于 θ 。因此，算法中的 M 步骤优化可以简化，只考虑方程 (8) 中的第一项作为对数似然的新下界，记作 $Q(\theta, \theta^{(n)})$ ：

$$Q(\theta, \theta^{(n)}) = \int p(\mathbf{x}_{0:T} \mid \mathbf{y}_{1:T}, \theta^{(n)}) \log p(\mathbf{x}_{0:T}, \mathbf{y}_{1:T} \mid \theta) d\mathbf{x}_{0:T}. \quad (9)$$

因此，我们得到了最终的迭代不等式，改编自方程 (5)：

$$\log p(\mathbf{y}_{1:T} \mid \theta) \geq Q(\theta, \theta^{(n)}). \quad (10)$$



线性高斯状态空间模型的 EM 算法

在线性高斯状态空间模型 (LGSSM) 的假设下, $Q(\theta, \theta^{(n)})$ 的表达式为:

$$\begin{aligned}
 Q(\theta, \theta^{(n)}) = & -\frac{1}{2} \log |2\pi \mathbf{P}_0(\theta)| - \frac{T}{2} \log |2\pi \mathbf{Q}(\theta)| - \frac{T}{2} \log |2\pi \mathbf{R}(\theta)| \\
 & - \frac{1}{2} \text{tr} \left\{ \mathbf{P}_0^{-1}(\theta) \left[\mathbf{P}_0^s + (\mathbf{m}_0^s - \mathbf{m}_0(\theta))(\mathbf{m}_0^s - \mathbf{m}_0(\theta))^T \right] \right\} \\
 & - \frac{T}{2} \text{tr} \left\{ \mathbf{Q}^{-1}(\theta) \left[\Sigma - \mathbf{C}\mathbf{A}^T(\theta) - \mathbf{A}(\theta)\mathbf{C}^T + \mathbf{A}(\theta)\Phi\mathbf{A}^T(\theta) \right] \right\} \\
 & - \frac{T}{2} \text{tr} \left\{ \mathbf{R}^{-1}(\theta) \left[\mathbf{D} - \mathbf{B}\mathbf{H}^T(\theta) - \mathbf{H}(\theta)\mathbf{B}^T + \mathbf{H}(\theta)\Sigma\mathbf{H}^T(\theta) \right] \right\}, \quad (11)
 \end{aligned}$$



其中, 中间量 $\Sigma, \Phi, \mathbf{B}, \mathbf{C}, \mathbf{D}$ 计算为:

$$\Sigma = \frac{1}{T} \sum_{k=1}^T \mathbf{P}_k^s + \mathbf{m}_k^s [\mathbf{m}_k^s]^T, \quad (12)$$

$$\Phi = \frac{1}{T} \sum_{k=1}^T \mathbf{P}_{k-1}^s + \mathbf{m}_{k-1}^s [\mathbf{m}_{k-1}^s]^T, \quad (13)$$

$$\mathbf{B} = \frac{1}{T} \sum_{k=1}^T \mathbf{y}_k [\mathbf{m}_k^s]^T, \quad (14)$$

$$\mathbf{C} = \frac{1}{T} \sum_{k=1}^T \mathbf{P}_k^s \mathbf{G}_{k-1}^T + \mathbf{m}_k^s [\mathbf{m}_{k-1}^s]^T, \quad (15)$$

$$\mathbf{D} = \frac{1}{T} \sum_{k=1}^T \mathbf{y}_k \mathbf{y}_k^T, \quad (16)$$

这些量是由卡尔曼滤波器和卡尔曼平滑器的结果推导而来。



通过将梯度 $\frac{\partial Q(\theta, \theta^{(n)})}{\partial \theta}$ 设置为零，我们得到以下解析形式的公式来更新参数：

$$\mathbf{m}_0^* = \mathbf{m}_0^S, \quad (17)$$

$$\mathbf{P}_0^* = \mathbf{P}_0^S + (\mathbf{m}_0^S - \mathbf{m}_0)(\mathbf{m}_0^S - \mathbf{m}_0)^T, \quad (18)$$

$$\mathbf{A}^* = \mathbf{C}\Phi^{-1}, \quad (19)$$

$$\mathbf{Q}^* = \Sigma - \mathbf{C}\mathbf{A}^T - \mathbf{A}\mathbf{C}^T + \mathbf{A}\Phi\mathbf{A}^T, \quad (20)$$

$$\mathbf{H}^* = \mathbf{B}\Sigma^{-1}, \quad (21)$$

$$\mathbf{R}^* = \mathbf{D} - \mathbf{H}\mathbf{B}^T - \mathbf{B}\mathbf{H}^T + \mathbf{H}\Sigma\mathbf{H}^T, \quad (22)$$

其中：

- θ^* 表示 $\arg \max_{\theta} Q(\theta, \theta^{(n)})$ ，对应算法中的 M 步骤。参数 θ 可以是 $\{\mathbf{A}, \mathbf{H}, \mathbf{Q}, \mathbf{R}, \mathbf{m}_0, \mathbf{P}_0\}$ 的任意子集。



GraphEM

本节中，我们提出了一个通用框架，用于在适当的先验假设下估计线性高斯状态空间模型（LGSSM）的转移矩阵 \mathbf{A} 。我们的目标是寻找 $\hat{\mathbf{A}}$ ，使得：

$$\hat{\mathbf{A}} = \arg \max_{\mathbf{A}} p(\mathbf{A} \mid \mathbf{y}_{1:T}), \quad (23)$$

其中：

- 由贝叶斯公式得： $p(\mathbf{A} \mid \mathbf{y}_{1:T}) \propto p(\mathbf{y}_{1:T} \mid \mathbf{A})p(\mathbf{A})$ 。



本节中，我们提出了一个通用框架，用于在适当的先验假设下估计线性高斯状态空间模型（LGSSM）的转移矩阵 \mathbf{A} 。我们的目标是寻找 $\hat{\mathbf{A}}$ ，使得：

$$\hat{\mathbf{A}} = \arg \max_{\mathbf{A}} p(\mathbf{A} \mid \mathbf{y}_{1:T}), \quad (23)$$

其中：

- 由贝叶斯公式得： $p(\mathbf{A} \mid \mathbf{y}_{1:T}) \propto p(\mathbf{y}_{1:T} \mid \mathbf{A})p(\mathbf{A})$ 。

回忆在未引入先验信息之前，对数似然函数的下界由式 (10) 给出：

$$\log p(\mathbf{y}_{1:T} \mid \mathbf{A}) \geq Q(\mathbf{A}, \mathbf{A}^{(n)}) \quad (24)$$



本节中，我们提出了一个通用框架，用于在适当的先验假设下估计线性高斯状态空间模型（LGSSM）的转移矩阵 \mathbf{A} 。我们的目标是寻找 $\hat{\mathbf{A}}$ ，使得：

$$\hat{\mathbf{A}} = \arg \max_{\mathbf{A}} p(\mathbf{A} \mid \mathbf{y}_{1:T}), \quad (23)$$

其中：

- 由贝叶斯公式得： $p(\mathbf{A} \mid \mathbf{y}_{1:T}) \propto p(\mathbf{y}_{1:T} \mid \mathbf{A})p(\mathbf{A})$ 。

回忆在未引入先验信息之前，对数似然函数的下界由式 (10) 给出：

$$\log p(\mathbf{y}_{1:T} \mid \mathbf{A}) \geq Q(\mathbf{A}, \mathbf{A}^{(n)}) \quad (24)$$

为了引入先验信息，我们为 EM 框架推导出一个新的下界：

$$\log p(\mathbf{y}_{1:T} \mid \mathbf{A}) + \log p(\mathbf{A}) \geq Q(\mathbf{A}, \mathbf{A}^{(n)}) + \log p(\mathbf{A}) \quad (25)$$



GraphEM 的 E 步骤

对于线性高斯状态空间模型 (LGSSM), 下界 $Q(\mathbf{A}, \mathbf{A}^{(n)})$ 由式 (11) 给出。由于我们只关心 \mathbf{A} , 该表达式可简化为:

$$Q(\mathbf{A}, \mathbf{A}^{(n)}) = -\frac{T}{2} \text{tr} \{ \mathbf{Q}^{-1} [\boldsymbol{\Sigma} - \mathbf{C}\mathbf{A}^T - \mathbf{A}\mathbf{C}^T + \mathbf{A}\boldsymbol{\Phi}\mathbf{A}^T] \} + \text{ct.}_{\mathbf{A}}, \quad (26)$$

其中:

- $\boldsymbol{\Sigma} = \boldsymbol{\Sigma}(\mathbf{A}^{(n)})$, 由式 (12) 计算,
- $\boldsymbol{\Phi} = \boldsymbol{\Phi}(\mathbf{A}^{(n)})$, 由式 (13) 计算,
- $\mathbf{C} = \mathbf{C}(\mathbf{A}^{(n)})$, 由式 (15) 计算,
- $\text{ct.}_{\mathbf{A}}$ 表示与 \mathbf{A} 无关的常数项。



M 步骤中的优化方法

在标准的 EM 算法中，该优化问题通常具有闭式解。然而，在我们的目标函数中引入了先验项，使问题变得更加复杂，因此需要采用专门的优化方法。这里，我们提出一种适用于该修正 EM 结构的求解方法。



近端算子

设 $f: \mathbb{R}^{n \times n} \rightarrow \mathbb{R}$ 是一个适当的、凸的、下半连续的函数。函数 f 在点 $\tilde{\mathbf{A}} \in \mathbb{R}^{n \times n}$ 的近端算子定义为：

$$\text{prox}_f(\tilde{\mathbf{A}}) = \arg \min_{\mathbf{A}} \left(f(\mathbf{A}) + \frac{1}{2} \|\mathbf{A} - \tilde{\mathbf{A}}\|_F^2 \right) \quad (27)$$



Douglas-Rachford 迭代法

我们考虑如下优化问题：

$$\min_{\mathbf{A}} \mathfrak{Q}(\mathbf{A}, \mathbf{A}^{(n)}) \equiv \min_{\mathbf{A}} -Q(\mathbf{A}, \mathbf{A}^{(n)}) + \mathcal{L}_0(\mathbf{A}) \quad (28)$$



Douglas-Rachford 迭代法

我们考虑如下优化问题：

$$\min_{\mathbf{A}} \mathfrak{Q}(\mathbf{A}, \mathbf{A}^{(n)}) \equiv \min_{\mathbf{A}} -Q(\mathbf{A}, \mathbf{A}^{(n)}) + \mathcal{L}_0(\mathbf{A}) \quad (28)$$

通过定义：

$$f_1(\mathbf{A}) \triangleq -Q(\mathbf{A}, \mathbf{A}^{(n)}), \quad f_2(\mathbf{A}) \triangleq \mathcal{L}_0(\mathbf{A}), \quad (29)$$

该问题可以使用 Douglas-Rachford 迭代法求解，其形式如下：

$$\mathbf{A}^{(i+1)} = \mathbf{A}^{(i)} + \alpha \left(\text{prox}_{\vartheta f_1} \left(2 \text{prox}_{\vartheta f_2} (\mathbf{A}^{(i)}) - \mathbf{A}^{(i)} \right) - \text{prox}_{\vartheta f_2} (\mathbf{A}^{(i)}) \right), \quad (30)$$

其中我们设置 $\alpha = 1$ 。



在我们的具体问题中，两个近端算子分别为：

$$\text{prox}_{\vartheta f_1}(\mathbf{A}^{(i)}) \triangleq \arg \min_{\mathbf{A}} \left(-Q(\mathbf{A}, \mathbf{A}^{(n)}) + \frac{1}{2\vartheta} \|\mathbf{A} - \mathbf{A}^{(i)}\|^2 \right), \quad (31)$$

$$\text{prox}_{\vartheta f_2}(\mathbf{A}^{(i)}) \triangleq \arg \min_{\mathbf{A}} \left(\mathcal{L}_0(\mathbf{A}) + \frac{1}{2\vartheta} \|\mathbf{A} - \mathbf{A}^{(i)}\|^2 \right), \quad (32)$$

其中 $\text{prox}_{\vartheta f_1}(\mathbf{A}^{(i)})$ 和 $\text{prox}_{\vartheta f_2}(\mathbf{A}^{(i)})$ 的计算方法可参考前一节。



正则项与先验知识

我们引入惩罚项以对转移矩阵 \mathbf{A} 进行正则化。这些惩罚项来源于对 \mathbf{A} 结构的先验知识，并以 $\mathcal{L}_0(\mathbf{A})$ 的形式融入目标函数中。不同的正则项鼓励 \mathbf{A} 具备不同的性质，例如稀疏性、块稀疏性或平滑性等。



正则项与先验知识

我们引入惩罚项以对转移矩阵 \mathbf{A} 进行正则化。这些惩罚项来源于对 \mathbf{A} 结构的先验知识，并以 $\mathcal{L}_0(\mathbf{A})$ 的形式融入目标函数中。不同的正则项鼓励 \mathbf{A} 具备不同的性质，例如稀疏性、块稀疏性或平滑性等。

表 1 列举了常用的先验类型、对应的正则项 $\mathcal{L}_0(\mathbf{A})$ 及其相关的近端算子。这些正则项在引导优化过程中发挥着关键作用，确保所估计的转移矩阵 \mathbf{A} 与其潜在图结构保持一致。



表 先验类型、正则项及其在尺度参数 $\vartheta > 0$ 下的近端算子示例。

先验类型	$\mathcal{L}_0(\mathbf{A})$	$\text{prox}_{\vartheta \mathcal{L}_0}(\mathbf{A})$
Laplace	$\ \mathbf{A}\ _1$	$(\text{sign}(a_{ij}) \max(0, a_{ij} - \lambda\vartheta))_{i,j \leq n}$
Block-Laplace	$\ \mathbf{A}\ _{2,1} = \sum_{b=1}^B \ \mathbf{a}(b)\ _2$	$\left(\left(1 - \frac{\lambda\vartheta}{\max(\ \mathbf{a}(b)\ _2, \lambda\vartheta)} \right) \mathbf{a}(b) \right)_{b \leq B}$
Gaussian	$\frac{1}{2} \ \mathbf{A}\ _F^2$	$\left(\frac{a_{ij}}{1 + \lambda\vartheta} \right)_{i,j \leq n}$
Laplace + Gaussian	$\ \mathbf{A}\ _1 + \frac{1}{2} \ \mathbf{A}\ _F^2$	$\left(\text{sign} \left(\frac{a_{ij}}{1 + \lambda\vartheta} \right) \max \left(0, \left \frac{a_{ij}}{1 + \lambda\vartheta} \right - \frac{\lambda\vartheta}{1 + \lambda\vartheta} \right) \right)_{i,j \leq n}$



稳定性约束与正则项

稳定性约束与正则项对于确保 GraphEM 算法产生具有意义且可解释的结果至关重要。稳定性约束保证了系统动力学的稳定性，而正则项则融入了关于转移矩阵 A 结构的先验知识。



稳定性约束与正则项

稳定性约束与正则项对于确保 GraphEM 算法产生具有意义且可解释的结果至关重要。稳定性约束保证了系统动力学的稳定性，而正则项则融入了关于转移矩阵 A 结构的先验知识。

这些先验在处理不同类型图结构时尤其有用，例如小世界网络、无标度网络或二部图等，有助于算法适应图结构的特定性质。这种适配性使得算法能够有效捕捉图中节点之间的复杂关系，从而提升推断的准确性。



实验结论



分块对角矩阵

分块对角矩阵是一类特殊的稀疏矩阵，其非零元素局限于对角线上的若干块中。数学形式如下：

$$\mathbf{A} = \begin{pmatrix} \mathbf{A}_1 & \mathbf{0} & \cdots & \mathbf{0} \\ \mathbf{0} & \mathbf{A}_2 & \cdots & \mathbf{0} \\ \vdots & \vdots & \ddots & \vdots \\ \mathbf{0} & \mathbf{0} & \cdots & \mathbf{A}_k \end{pmatrix},$$

其中 \mathbf{A}_i 是子矩阵， $\mathbf{0}$ 表示相应维度的零矩阵。该结构常用于建模解耦或弱耦合的子系统。



小世界图与无标度图

小世界图具有较高的聚类系数与较短的平均路径长度。在实验中，我们使用 Watts-Strogatz 模型生成小世界图，设节点数 $n = 16$ ，每个节点连接 $k = 4$ 个最近邻节点，重连概率为 $p = 0.3$ 。小世界图的邻接矩阵 A 通常具有局部连接与少量远程连接的混合特性，实现稀疏性与连通性的平衡。



小世界图与无标度图

小世界图具有较高的聚类系数与较短的平均路径长度。在实验中，我们使用 Watts-Strogatz 模型生成小世界图，设节点数 $n = 16$ ，每个节点连接 $k = 4$ 个最近邻节点，重连概率为 $p = 0.3$ 。小世界图的邻接矩阵 A 通常具有局部连接与少量远程连接的混合特性，实现稀疏性与连通性的平衡。

无标度图的节点度分布满足幂律形式： $P(k) \sim k^{-\gamma}$ ，其中 k 是节点度， γ 是常数。我们使用 Barabási-Albert 模型生成无标度图，设 $n = 16$ ，每步增加 $m = 2$ 条边。该图的邻接矩阵 A 高度稀疏，仅有少数枢纽节点具有较高的度数。



表 不同图结构在各类正则方法下的实验结果。每种图类型中加粗的数值表示最佳结果。

图类型	方法	$\mathcal{L}_T(\hat{\mathbf{A}})$	$\ \hat{\mathbf{A}} - \mathbf{A}\ _F$
分块对角	EM	-21288.702	0.611
	GraphEM Laplace	-21262.253	0.575
	GraphEM Gaussian	-21287.225	0.608
	GraphEM Laplace+Gaussian	-21244.464	0.566
小世界	EM	-2237.305	2.489
	GraphEM Laplace	-2195.235	2.181
	GraphEM Gaussian	-2235.439	2.424
	GraphEM Laplace+Gaussian	-2193.343	2.140
无标度	EM	-2234.821	2.176
	GraphEM Laplace	-2197.950	2.005
	GraphEM Gaussian	-2233.167	2.138
	GraphEM Laplace+Gaussian	-2195.138	1.974



表 2 总结了 EM 算法及其 GraphEM 变体（包括 Laplace、Gaussian 和 Laplace+Gaussian 正则化）在不同图结构上的性能表现，图类型包括分块对角、小世界、无标度。表中报告了每种方法在每种图类型下的负对数似然 $\mathcal{L}_T(\hat{\mathbf{A}})$ 以及 Frobenius 范数 $\|\hat{\mathbf{A}} - \mathbf{A}\|_F$ 。



表 2 总结了 EM 算法及其 GraphEM 变体（包括 Laplace、Gaussian 和 Laplace+Gaussian 正则化）在不同图结构上的性能表现，图类型包括分块对角、小世界、无标度。表中报告了每种方法在每种图类型下的负对数似然 $\mathcal{L}_T(\hat{\mathbf{A}})$ 以及 Frobenius 范数 $\|\hat{\mathbf{A}} - \mathbf{A}\|_F$ 。

从表中可以看出，GraphEM 的各类变体在 Frobenius 范数方面均优于标准 EM 算法。具体而言：

- *GraphEM Laplace+Gaussian* 方法在所有图类型中均表现最佳，取得了最小的 Frobenius 范数。这表明将 Laplace 与 Gaussian 先验结合能够提供更稳健的正则化框架。
- *GraphEM Laplace* 方法相较标准 EM 同样具有显著提升，尤其在降低 Frobenius 范数方面效果明显，说明稀疏性正则化在刻画图结构方面是有效的。
- *GraphEM Gaussian* 方法相比标准 EM 稍有提升，但整体效果不如 Laplace 及 Laplace+Gaussian 变体，进一步强调了诱导稀疏性的先验在图结构正则化中的重要性。



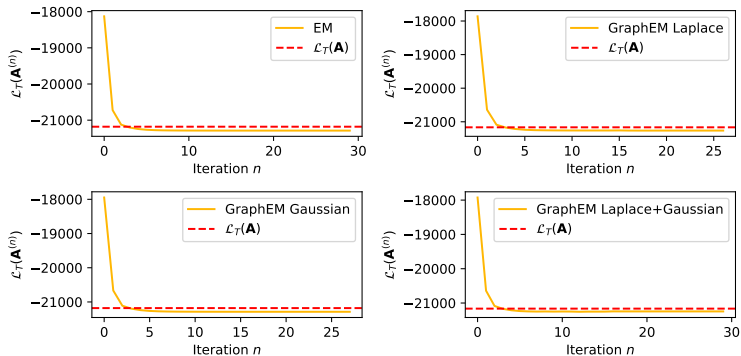


图 不同正则化方法下，分块对角图的负对数似然收敛曲线。

图 2 展示了分块对角图在不同正则方法下的负对数似然收敛情况。从图中可以看出，所有 EM 系列方法的收敛值均低于真实参数对应的负对数似然值，进一步验证了其估计效果的有效性。



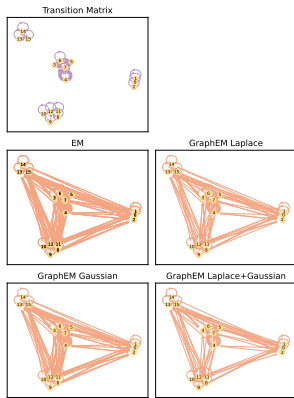


图 分块对角图的真实转移矩阵与估计矩阵对比图。

为了进行更细致的对比，图 3 可视化展示了分块对角图的真实转移矩阵与估计转移矩阵。结果显示，GraphEM 的 Laplace 与 Laplace+Gaussian 方法所得估计最接近真实值，非对角块间联系更少，更好地保留了块对角结构。



结论

本文研究了 GraphEM 算法在线性高斯状态空间模型 (LGSSM) 参数估计中的应用。GraphEM 是一种新颖的算法，它将先验知识整合进期望最大化 (EM) 框架中。通过引入图推理与正则化技术，我们对原始 GraphEM 方法进行了扩展，使其能够处理更广泛的图结构与正则化策略，包括 Laplace、Gaussian 及混合 Laplace+Gaussian 先验。



结论

本文研究了 GraphEM 算法在线性高斯状态空间模型 (LGSSM) 参数估计中的应用。GraphEM 是一种新颖的算法，它将先验知识整合进期望最大化 (EM) 框架中。通过引入图推理与正则化技术，我们对原始 GraphEM 方法进行了扩展，使其能够处理更广泛的图结构与正则化策略，包括 Laplace、Gaussian 及混合 Laplace+Gaussian 先验。

一个具有前景的结果是，GraphEM 框架能够集成多种正则项。Laplace 与 Gaussian 先验的组合实现了两者优势的叠加，而不引入额外的优化开销。这一特性为未来的研究开辟了新方向：通过累积多样化的正则项，可以在不增加计算复杂度的前提下，迭代地逼近最优解。



结论

本文研究了 GraphEM 算法在线性高斯状态空间模型 (LGSSM) 参数估计中的应用。GraphEM 是一种新颖的算法，它将先验知识整合进期望最大化 (EM) 框架中。通过引入图推理与正则化技术，我们对原始 GraphEM 方法进行了扩展，使其能够处理更广泛的图结构与正则化策略，包括 Laplace、Gaussian 及混合 Laplace+Gaussian 先验。

一个具有前景的结果是，GraphEM 框架能够集成多种正则项。Laplace 与 Gaussian 先验的组合实现了两者优势的叠加，而不引入额外的优化开销。这一特性为未来的研究开辟了新方向：通过累积多样化的正则项，可以在不增加计算复杂度的前提下，迭代地逼近最优解。

未来的研究方向包括发展自适应正则化策略，根据观测数据与图结构动态调整 Laplace 与 Gaussian 先验的权重。此外，进一步研究 GraphEM 在其他图类型上的表现，如随机图、分层图与动态图，有助于验证其通用性。最后，将 GraphEM 应用于金融、气候建模与社交网络分析等实际问题中，有望展示其在参数估计中的实用价值与潜在影响。



The End



- [CD24] Chen Cui and Petar M Djurić. Inference of time-varying graph topologies via gaussian processes. In *ICASSP 2024-2024 IEEE International Conference on Acoustics, Speech and Signal Processing (ICASSP)*, pages 13276–13280. IEEE, 2024.
- [Cho23] Byeongseong Choi. *Urban temperature and electricity demand: probabilistic modeling and adaptive decision-making*. PhD thesis, Carnegie Mellon University, 2023.
- [DR24] Lital Dabush and Tirza Routtenberg. Kalman filter for tracking network dynamic. In *ICASSP 2024-2024 IEEE International Conference on Acoustics, Speech and Signal Processing (ICASSP)*, pages 13216–13220. IEEE, 2024.
- [Ham94] James D Hamilton. State-space models. *Handbook of econometrics*, 4:3039–3080, 1994.
- [KN17] Chang-Jin Kim and Charles R Nelson. *State-space models with regime switching: classical and Gibbs-sampling approaches with applications*. MIT press, 2017.
- [MMRG25] Ayush Mohanty, Nazal Mohamed, Paritosh Ramanan, and Nagi Gebraeel. Federated granger causality learning for interdependent clients with state space representation. 2025.

